

METODA RETRAKCJI – DIAGRAM VORONOI'a

Metoda Retrakcji należy do grupy metod Mapy Dróg. Polega na zdefiniowaniu ciągłego odwzorowania wolnej przestrzeni C_{free} na 1-wymiarową sieć krzywych R położoną w C_{free} .

1. Podstawy formalne

Retrakcja jest klasycznym pojęciem w topologii.

Def. Niech X będzie przestrzenią topologiczną. Niech $Y \subseteq X$.

Odwzorowanie $\rho : X \rightarrow Y$, które jest ciągłe, i którego ograniczenie do Y jest odwzorowaniem identycznym ($\rho(y) = y, \forall y \in Y$), jest nazywane **retrakcją X w Y** .

Def. Niech ρ będzie retrakcją przestrzeni topologicznej X w Y .

Mówimy, że ρ **zachowuje spójność** X wtedy i tylko wtedy gdy $\forall x \in X$, x i $\rho(x)$ należą do tego samego, połączonego ścieżką składnika X .

Niech ρ będzie zachowującą spójność retrakcją przestrzeni C_{free} na 1-wymiarowy podzbiór $R \subset C_{free}$ (siatkę krzywych). Następujące twierdzenie redukuje planowanie ruchu w C_{free} do planowania w R :

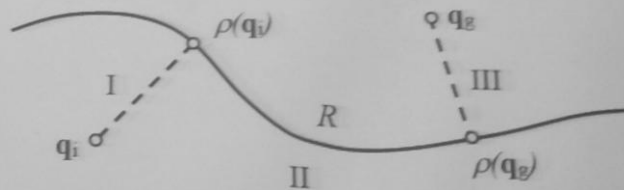
Tw. Niech $\rho : C_{free} \rightarrow R$, gdzie $R \subset C_{free}$ jest siatką 1-wymiarowych krzywych, będzie zachowującą spójność retrakcją.

Pomiędzy dwoma konfiguracjami $q_i, q_g \in C_{free}$ istnieje ścieżka, w. i t. w., gdy istnieje ścieżka pomiędzy ich odwzorowaniami $\rho(q_i), \rho(q_g) \in R$.

Dowód: Jeżeli istnieje ścieżka w R pomiędzy $\rho(q_i)$ a $\rho(q_g)$, to istnieje ścieżka składająca się z trzech odcinków:

- I. $(q_i, \rho(q_i))$,
- II. $(\rho(q_i), \rho(q_g))$,
- III. $(\rho(q_g), q_g)$.

Odcinki I i III istnieją ponieważ przekształcenie ρ zachowuje spójność C_{free} .



Efektywność planowania ścieżki zależy od:

- wyboru odwzorowania ρ ,
- algorytmów konstruowania grafowej reprezentacji sieci krzywych R ,
- obliczania odwzorowania $\rho(q_i)$ i $\rho(q_g)$,
- generowania ścieżek $(q_i, \rho(q_i))$ i $(\rho(q_g), q_g)$,

2. Wieloboczna przestrzeń konfiguracyjna 2D

Dla przestrzeni $C = \mathbb{R}^2$, ograniczonej wielobokami, efektywną retrakcją jest jej diagram Voronoi'a. Ten diagram ma interesująca własność maksymalizacji odległości pomiędzy robotem a przeszkodami.

Def. Niech β będzie obrysem (otoczeniem) przestrzeni swobodnej C_{free} .

Prześwit (*clearance*) w punkcie $\mathbf{q} \in C_{free}$ jest funkcją:

$$clear(\mathbf{q}) = \min_{p \in \beta} \|\mathbf{q} - p\|,$$

gdzie: $\|\cdot\|$ -metryka Euklidesowa.

Def. Niech będzie dany zbiór:

$$near(\mathbf{q}) = \{ p \in \beta / \|\mathbf{q} - p\| = clear(\mathbf{q}) \},$$

punktów obrysu β przestrzeni swobodnej, spełniających funkcję prześwitu (względem pewnej konfiguracji \mathbf{q}).

diagram Voronoi'a. Ten diagram ma interesująca własność maksymalizacji odległości pomiędzy robotem a przeszkodami.

Def. Niech β będzie obrysem (otoczeniem) przestrzeni swobodnej C_{free} .

Prześwit (*clearance*) w punkcie $\mathbf{q} \in C_{free}$ jest funkcją:

$$clear(\mathbf{q}) = \min_{p \in \beta} \|\mathbf{q} - p\|,$$

gdzie: $\|\cdot\|$ -metryka Euklidesowa.

Def. Niech będzie dany zbiór:

$$near(\mathbf{q}) = \{ p \in \beta / \|\mathbf{q} - p\| = clear(\mathbf{q}) \},$$

punktów obrysu β przestrzeni swobodnej, spełniających funkcję prześwitu (względem pewnej konfiguracji \mathbf{q}).

Diagramem Voronoi'a przestrzeni C_{free} nazywamy zbiór konfiguracji:

$$Vor(C_{free}) = \{ \mathbf{q} \in C_{free} \mid card(near(\mathbf{q})) > 1 \}.$$

gdzie: $card E$ – oznacza licznosc (cardinality) zbioru E .

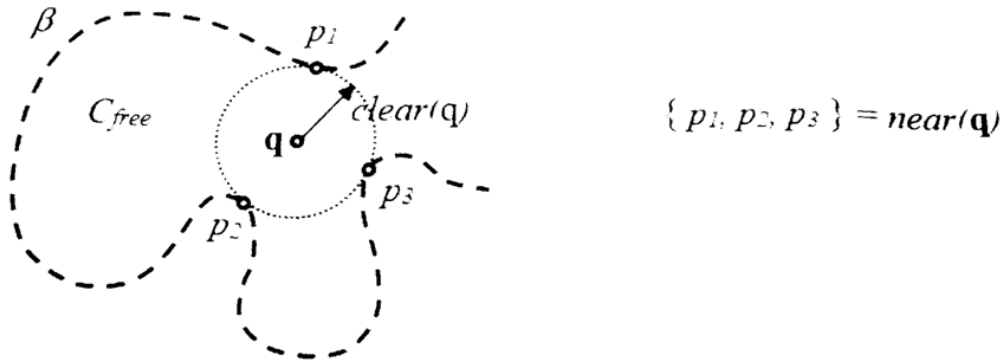
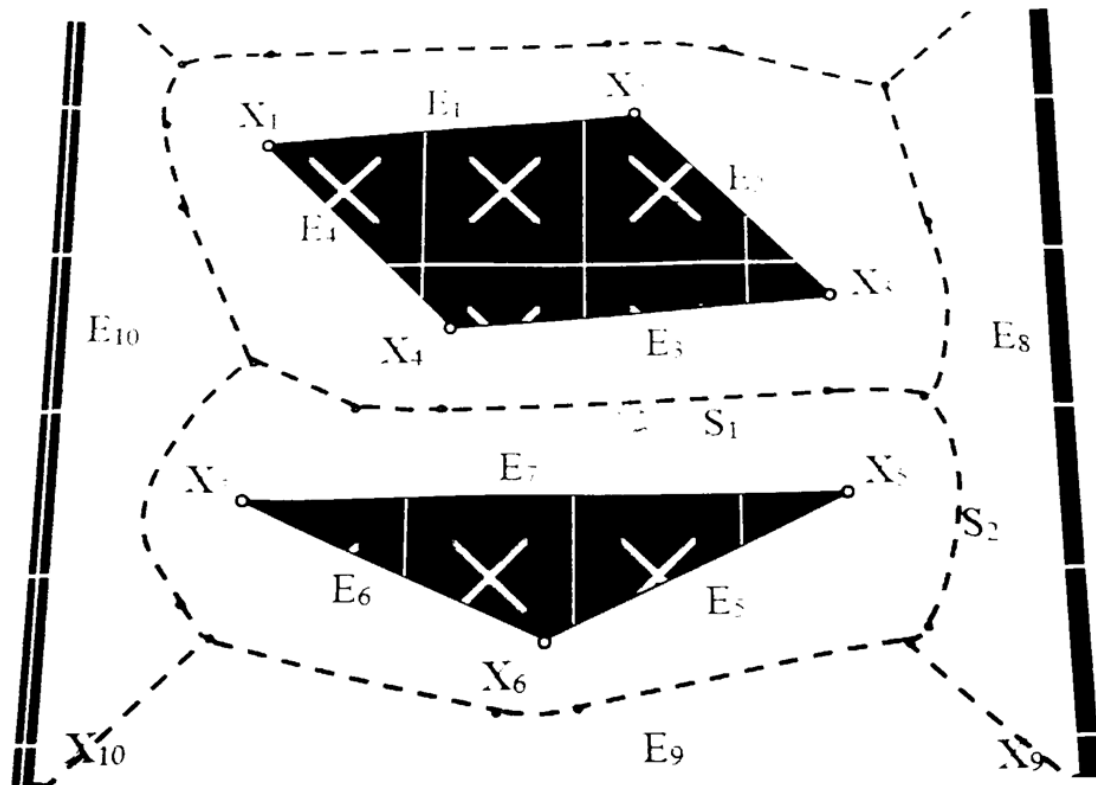


Diagram Voronoi'a jest zbiorem konfiguracji zachowujacych minimalny dystans do więcej niż jednego punktu otoczenia β przestrzeni C_{free} .

3. Konstrukcja diagramu

Gdy przestrzeń swobodna C_{free} jest ograniczona wielobokami, to diagram Voronoi'a składa się z odcinków prostych i paraboli.

NARZĘDZIA: RĘKAWICZKA, WYKŁADNICA, OŁÓWKO, WYKŁADNICA, KREDA, KREDA, OŁÓWKO, OŁÓWKO



Każdy *odcinek prostej* jest zbiorem konfiguracji położonych najbliższej pary „krawędź – krawędź” (E-E) lub „wierzchołek – wierzchołek” (X-X). Para taka określa równanie prostej. Przykładowo, odcinek prostej S_1 jest zbiorem konfiguracji położonych najbliższej pary krawędzi (E_3, E_7) : $S_1 \leftarrow (E_3, E_7)$.

Każdy *odcinek paraboli* jest zbiorem konfiguracji położonych najbliższej pary „krawędź – wierzchołek” (E-X). Para taka określa równanie paraboli. Przykładowo, odcinek paraboli S_2 jest zbiorem konfiguracji położonych najbliższej pary krawędź – wierzchołek (E_8, X_5) : $S_2 \leftarrow (E_8, X_5)$.

Złożoność obliczeniowa

Jeżeli obrys β przestrzeni swobodnej C_{free} ma „ n ” wierzchołków, to naiwny algorytm tworzy diagram Voronoi’a w czasie $O(n^4)$ – rozważając $O(n^2)$ par (E-E), (X-X), (E-X), i obliczając przecięcia odpowiadających im równo-odległych krzywych.

Można łatwo wykazać, że całkowita liczba łuków $Vor(C_{free})$ wynosi $O(n)$, a więc istnieje algorytm, który oblicza $Vor(C_{free})$ w czasie $O(n^2)$.

Istnieją także algorytmy o złożoności $O(n \log^2 n)$ opracowane przez Lee i Drysdale’a oraz przez Leven’a i Sharir’a, a także algorytmy optymalne $O(n \log n)$ opracowane przez Kirkpatrick’a oraz przez Yap’a a także przez Fortune’a.

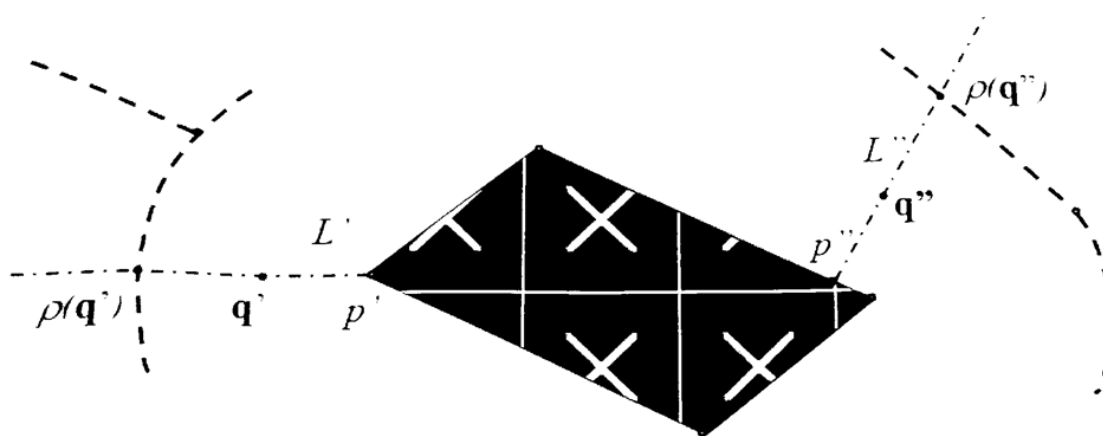
4. Konstrukcja odwzorowania $\rho(q)$

Rozważmy konfigurację swobodną q , spoza diagramu Voronoi’a ($q \notin Vor(C_{free})$), oraz najbliższy dla niej punkt obrysu $p \in \beta$, czyli taki że: $\|q - p\| = clear(q)$.

Punkt p jest albo pojedynczym wierzchołkiem obrysu ($p = X_i \in \beta$) albo elementem otwartej krawędzi obrysu ($p \in E_j \in \beta$).

Rozważmy pół-prostą L wychodzącą z p i przechodzącą przez q .

Odcinek łączący punkt p z najbliższym przecięciem prostej L z diagramem $Vor(C_{free})$, przebiega po „max. spadku” funkcji prześwitu $clear(q)$, tj. dla każdego q' położonego na tym odcinku, wektor $\vec{\nabla} clear(q')$ wskazuje wzdłuż L .



Pierwsze przecięcie L z diagramem $Vor(C_{free})$, oznaczone przez $\rho(q)$, jest „obrazem konfiguracji q na diagramie $Vor(C_{free})$ ”.

Poza $\rho(q)$, funkcja prześwitu $clear(q)$ maleje lub zmienia się kierunek jej gradientu. Funkcję ρ można rozszerzyć na całą C_{free} , kładąc: $\rho(q) = q$ dla $\forall q \in Vor(C_{free})$.

Tw.

I

Aplikacja odwzorowania $\rho: C_{free} \rightarrow Vor(C_{free})$, jest ciągła.

A więc ρ jest retrakcją C_{free} na diagram $Vor(C_{free})$. Ze względu na sposób konstrukcji zachowuje ona spójność C_{free} .

5. Algorytm planowania ścieżki

Metoda planowania ścieżki oparta na retrakcji ρ wykorzystuje diagram Voronoi'a jako mapę dróg R . Algorytm jest następujący:

1. Oblicz diagram $Vor(C_{free})$.
2. Oblicz punkty $\rho(q_i), \rho(q_g) \in Vor(C_{free})$ i określ łuki $Vor(C_{free})$ zawierające te punkty.
3. Szukaj w $Vor(C_{free})$ sekwencji łuków A_1, \dots, A_p , takiej że $\rho(q_i) \in A_1, \rho(q_g) \in A_p$, oraz $\forall i \in [1, p-1]$ łuki A_i i A_{i+1} mają wspólny wierzchołek.
4. Gdy poszukiwanie zakończy się sukcesem, podaj $\rho(q_i)$ i $\rho(q_g)$ oraz sekwencję łączących je łuków, w przeciwnym przypadku podaj brak drogi.

Krok 1 wymaga czasu $O(n \log n)$.

W kroku 2 trzeba najpierw obliczyć dystans konfiguracji q_i (odpowiednio q_g) do każdej krawędzi E_s i każdego wierzchołka X_r obrysu β , a potem wyznaczyć punkt $p_i \in \beta$ (odpowiednio $p_g \in \beta$), dla którego ten dystans jest najmniejszy, następnie określić wszystkie przecięcia promienia wychodzącego z p_i (odpowiednio p_g) i przechodzącego przez q_i (odpowiednio q_g) z diagramem $Vor(C_{free})$ oraz wybrać przecięcie najbliższe p_i (odpowiednio p_g). Ponieważ w $Vor(C_{free})$ istnieje $O(n)$ łuków te obliczenia wymagają $O(n)$ czasu.

Poszukiwanie z kroku 3 również wymaga $O(n)$ czasu.

Tak więc całkowita złożoność czasowa metody wynosi $O(n \log n)$. Najbardziej kosztowny jest krok 1, lecz zależy on jedynie od przestrzeni C_{free} a nie od położenia konfiguracji q_i i q_g . Więc planowanie innych ścieżek w tej samej przestrzeni pomija krok 1 i zajmuje $O(n)$ czasu. Dodatkowo istnieje liniowa metoda uaktualniania diagramu gdy kilka przeszkód ulegnie zmianie.